

9. Грановский В. Л. Электрический ток в газе.— М.: Гостехиздат, 1952.
10. Шувалов В. А., Губин В. В. Об определении степени неизотермичности потока разреженной плазмы зондовыми методами.— ТВТ, 1978, т. 16, № 4.
11. Шувалов В. А. Об аккомодации энергии газовых ионов на поверхности поликристаллов.— ПМТФ, 1983, № 3.
12. Ерофеев А. И., Жбакова А. В. Расчет столкновений атома газа с поверхностью для различных моделей твердого тела.— Учен. зап. ЦАГИ, 1972, т. 3, № 5.
13. Паринуу А. А. Модель взаимодействия разреженного газа многокомпонентной атмосферы с поверхностью.— В кн.: Тр. IV Всесоюз. конф. по динамике разреженных газов и молекулярной газовой динамике. М.: ЦАГИ, 1977.
14. Шувалов В. А. Обтекание сферы потоком неравновесной разреженной плазмы.— Геомagnetизм и аэрономия, 1979, т. 19, № 6.
15. Николаев В. С., Омелик А. И. Аэродинамические характеристики простых тел в свободномолекулярном неоднородном потоке.— Тр. ЦАГИ, 1971, вып. 1311.
16. Омелик А. И., Зименков В. И., Жилиев И. Р. Методика экспериментального определения аэродинамических характеристик тел в гиперзвуковом свободномолекулярном потоке.— Тр. ЦАГИ, 1977, вып. 1853.
17. Боринг Дж., Хамфрис Р. Коэффициенты лобового сопротивления в свободномолекулярном потоке при скоростях от 7 до 37 км/с.— Ракетн. техника и космонавтика, 1970, т. 8, № 9.
18. Басс В. П. Некоторые результаты взаимодействия потока разреженного газа с поверхностью ИСЗ и интерпретация данных его торможения.— Космич. исслед., 1980, т. 18, № 3.
19. Новицкий Л. А., Стенанов Б. М. Оптические свойства материалов при низких температурах.— М.: Машиностроение, 1980.
20. Зельдович Я. Б., Райзер Ю. П. Физика ударных волн и высокотемпературных гидродинамических явлений.— М.: Физматгиз, 1963.
21. Шувалов В. А., Резниченко Н. П., Гаврилов А. В. Исследование параметров взаимодействия потока разреженной плазмы с электропроводящими поверхностями с помощью термоанемометрических зондов.— ТВТ, 1981, т. 19, № 3.
22. Шувалов В. А. Об определении интегральной излучательной способности электропроводящих материалов с помощью термоанемометрических зондов.— ТВТ, 1984, т. 22, № 3.
23. Ерофеев А. И. О влиянии шероховатости на взаимодействие потока газа с поверхностью твердого тела.— Изв. АН СССР. МЖГ, 1967, № 6.
24. Шувалов В. А., Резниченко Н. П. О влиянии ориентации термоанемометрического зонда в потоке разреженной плазмы на величину коэффициента аккомодации энергии ионов.— ТВТ, 1981, т. 19, № 2.

*Поступила 5/III 1985 г.*

УДК 532.584 : 537.24

## КОЛИЧЕСТВЕННАЯ ТЕОРИЯ ЭЛЕКТРИЗАЦИИ АЭРОЗОЛЬНЫХ ЧАСТИЦ, ПАДАЮЩИХ В ОДНОМЕРНОМ ВОСХОДЯЩЕМ ВОЗДУШНОМ ПОТОКЕ

*А. В. Филиппов, Л. Т. Черный*

{(Москва)}

Как известно [1—3], электрические явления в нижних слоях атмосферы существенным образом определяются наличием восходящих и нисходящих воздушных потоков. Указанные потоки переносят присутствующие в атмосфере ионы, создаваемые в основном радиоактивным излучением. Электрическое поле в атмосфере, также влияющее на движение ионов, в свою очередь, само зависит от их концентраций. Распределение концентраций ионов и напряженности электрического поля в восходящих воздушных потоках необходимо знать, например, при расчете зарядки дождевых капель за счет захвата ионов. При этом обратным влиянием капель на распределение ионов и электрического поля можно пренебречь, если концентрация капель достаточно мала. Аналогичные явления встречаются также при зарядке аэрозолей в электрогидродинамических устройствах, в которых для ионизации газа используются специальные источники радиоактивного излучения [4, 5].

Ниже развита теория, описывающая распределение концентраций ионов и напряженности электрического поля в одномерных воздушных потоках, а также электризацию падающих в них аэрозольных частиц в случае малой концентрации последних. Практически требование одномерности течения и электрического поля может выполняться только приближенно в некоторой ограниченной области воздушного потока. Тем не менее это обычно используемое допущение [1] дает возможность ставить характерные модельные задачи, отражающие очень сложные природные и технологические процессы. На основе их решения можно получать оценки различных величин и проводить качественное исследование физических явлений.

1. Пусть газ, содержащий ионы с зарядами  $\pm e$  ( $e > 0$ ), движется поступательно с заданной постоянной скоростью  $u$ , направление которой совпадает с направлением вектора напряженности электрического поля  $E$ . Рассмотрим стационарные движения ионов в полупространстве  $z \geq 0$ , когда все параметры течения зависят только от одной координаты  $z$  (ось  $z$  параллельна векторам  $u$ ,  $E$ ). Такие течения описываются системой уравнений

$$(1.1) \quad \frac{dI_{\pm}}{dz} = \beta - \alpha n_{+} n_{-}, \quad \frac{dE}{dz} = 4\pi e (n_{+} - n_{-}),$$

$$I_{\pm} = -D_{\pm} \frac{dn_{\pm}}{dz} + n_{\pm} (u + b_{\pm} E).$$

Здесь  $n_{\pm}$  — концентрации положительных и отрицательных ионов;  $b_{\pm}$  — их подвижности, связанные с коэффициентами диффузии  $D_{\pm}$  отношением Эйнштейна  $b_{\pm} = \pm e D_{\pm} / (kT)$ ;  $\alpha$  — коэффициент рекомбинации, выражающийся в плотных газах через подвижности ионов по формуле Ланжевена  $\alpha = 4\pi e (b_{+} - b_{-})$ ;  $\beta$  — локальная скорость образования ионов, например, в результате радиоактивного излучения;  $n_0 = \sqrt{\beta/\alpha}$  — равновесная концентрация положительных и отрицательных ионов.

Из (1.1) вытекает, что суммарный электрический ток ионов  $J = e(I_{+} - I_{-}) = \text{const}$ . Исследуем течения, для которых  $J = 0$ . В качестве граничных условий при  $z = 0$  и  $z = \infty$  зададим

$$(1.2) \quad I_{+}(0) = I_0, \quad E(0) = E_0, \quad n_{\pm}(\infty) = n_0.$$

Из соотношений (1.1) и (1.2) имеем  $E(\infty) = 0$ .

Далее считается, что величина  $E_0$  положительна. Такое предположение не ограничивает общности постановки. Действительно, в случае  $E_0 < 0$  можно сделать замену:

$$(1.3) \quad n_{+}^{(1)} = n_{-}, \quad n_{-}^{(1)} = n_{+}, \quad E^{(1)} = -E,$$

$$b_{+}^{(1)} = |b_{-}|, \quad b_{-}^{(1)} = -b_{+}, \quad E^{(1)}(0) = -E_0 > 0.$$

После решения задачи (1.1), (1.2) для величин  $n_{\pm}^{(1)}$ ,  $E^{(1)}$  значения  $n_{\pm}(z)$  и  $E(z)$  определяются из (1.3) обратным преобразованием.

Введем безразмерные величины:

$$(1.4) \quad n_{\pm}^* = \frac{n_{\pm}}{n_0}, \quad I_{\pm}^* = \frac{I_{\pm}}{n_0 u}, \quad E^* = \frac{e\kappa E}{kT}, \quad z^* = \frac{z}{\kappa},$$

где  $\kappa = \sqrt{kT/(8\pi e^2 n_0)}$  — радиус Дебая. Ниже используются безразмерные величины (1.4), звездочки для удобства опускаются.

Рассмотрим сначала случай, когда подвижности ионов равны по абсолютной величине. Тогда для безразмерных значений заряда  $q = n_{+} - n_{-}$  и суммарной концентрации ионов  $n = n_{+} + n_{-}$  из соотношений (1.1), (1.2), (1.4) вытекает следующая краевая задача:

$$(1.5) \quad -\frac{d^2 n}{dz^2} + \frac{d}{dz} (qE) + \text{Pe} \frac{dn}{dz} = 2 + \frac{1}{2} (q^2 - n^2),$$

$$-\frac{d^2 q}{dz^2} + \frac{d}{dz} (nE) + \text{Pe} \frac{dq}{dz} = 0, \quad \frac{dE}{dz} = \frac{q}{2},$$

$$(1.6) \quad n(0) + \text{Re}_E^{-1} q(0) - \text{Pe}^{-1} \frac{dn(0)}{dz} = 2I_0,$$

$$q(0) + \text{Re}_E^{-1} n(0) - \text{Pe}^{-1} \frac{dq}{dz} = 0,$$

$$E(0) = \text{Pe}/\text{Re}_E, \quad n(\infty) = 2, \quad q(\infty) = 0.$$

Здесь  $\text{Pe} = u\kappa/D_{-}$  — число Пекле, построенное по радиусу Дебая;  $\text{Re}_E = u/(|b_{-}|E_0)$  — электрическое число Рейнольдса.

В случае  $E(0) = \text{Pe}/\text{Re}_E = 0$ ,  $I_0 = 1$  задача (1.5), (1.6) решается тривиально:  $E = 0$ ,  $q = 0$ ,  $n = 2$ . Пусть имеет место малое отклонение от этого состояния и  $E(0) = \text{Pe}/\text{Re}_E \ll 1$ ,  $|I_0 - 1| \ll 1$ . Решение уравнений для возмущений искомых величин  $n' = n - 2$ ,  $q'$ ,  $E'$ , получающихся линеаризацией соотношений (1.5), (1.6), запишем в виде

$$(1.7) \quad q' = -\frac{2 \text{Pe}^2}{\text{Re}_E} e^{-\mu z}, \quad n' = 4(I_0 - 1) \text{Pe}^2 e^{-\lambda z},$$

$$E' = \frac{\text{Pe}}{\text{Re}_E} e^{-\mu z}, \quad \lambda = -\frac{\text{Pe}}{2} \pm \sqrt{\frac{\text{Pe}^2}{4} + 2}, \quad \mu = -\frac{\text{Pe}}{2} \pm \sqrt{\frac{\text{Pe}^2}{4} + 1}.$$

Видно, что справедливы асимптотические выражения

$$(1.8) \quad \lambda = \sqrt{2} + o(\text{Pe}), \quad \mu = 1 + o(\text{Pe}), \quad \text{Pe} \rightarrow 0,$$

$$\lambda = \frac{2}{\text{Pe}} + o\left(\frac{1}{\text{Pe}}\right), \quad \mu = \frac{1}{\text{Pe}} + o\left(\frac{1}{\text{Pe}}\right), \quad \text{Pe} \rightarrow \infty.$$

Из определения безразмерной координаты  $z^* = z/\kappa$  решения (1.7) и соотношений (1.8) следует, что характерное расстояние  $L_E$ , на котором затухает напряженность электрического поля, определяется соотношениями  $L_E = \kappa$  при  $\text{Pe} \ll 1$ ,  $L_E = \text{Pe}\kappa \gg \kappa$  при  $\text{Pe} \gg 1$ . В последнем случае  $L_E = \text{Pe}\kappa = u/(4\pi\sigma)$ , где  $\sigma = 2en_0b$  — проводимость газа. Этот результат можно получить и непосредственно из уравнений (1.1), если в них опустить члены с коэффициентами  $D_{\pm}$ . Для восходящих потоков чистого атмосферного воздуха при нормальных условиях  $n_0 \simeq 5 \cdot 10^8 \text{ м}^{-3}$ ,  $D_+ = 2,8 \cdot 10^{-6} \text{ м}^2/\text{с}$ ,  $D_- = 4,3 \cdot 10^{-6} \text{ м}^2/\text{с}$ ,  $e = 1,6 \cdot 10^{-19} \text{ Кл}$ ,  $u \simeq 1 \text{ м/с}$  и, следовательно,  $\kappa \simeq 4 \cdot 10^{-2} \text{ м}$ ,  $\text{Pe} \simeq 10^4$ ,  $L_E \simeq 4 \cdot 10^2 \text{ м}$ .

В электрогидродинамических устройствах за счет применения для ионизации воздуха специальных источников радиоактивного излучения достигается значительно большая концентрация ионов ( $n_0 \simeq 5 \cdot 10^{12} \text{ м}^{-3}$  [5]). В результате при тех же значениях  $D_+$ ,  $u$ ,  $e$  получим  $\kappa \simeq 4 \cdot 10^{-4} \text{ м}$ ,  $\text{Pe} \simeq 10^2$ ,  $L_E = \text{Pe}\kappa \simeq 4 \cdot 10^{-2} \text{ м}$ . Таким образом, в обоих случаях  $L_E \gg \kappa$ .

2. Для исследования течений с большими значениями числа Пекле целесообразно ввести новые безразмерные переменные:

$$(2.1) \quad z^{**} = z^*/\text{Pe} = z/L_E, \quad E^{**} = E^*/\text{Pe} = |b_-|E/u,$$

$$n_{\pm}^{**} = n_{\pm}^*/n_0, \quad I^{**} = I^* = I/(n_0u).$$

Ниже используются безразмерные величины (2.1), звездочки для удобства опускаются.

Уравнения (1.1) и граничные условия (1.2), записанные в новых безразмерных переменных (2.1), имеют вид ( $\chi = b_+/|b_-|$ )

$$(2.2) \quad \frac{dI_{\pm}}{dz} = \frac{1}{2} (1 + \chi) (1 - n_+ n_-),$$

$$I_+ = n_+ (1 + \chi E) - \frac{\chi}{\text{Pe}^2} \frac{dn_+}{dz}, \quad I_- = n_- (1 - E) - \frac{1}{\text{Pe}^2} \frac{dn_-}{dz},$$

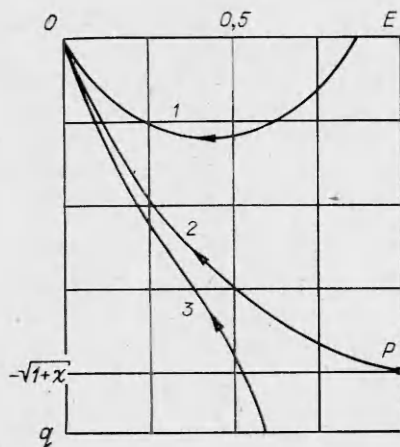
$$\frac{dE}{dz} = \frac{1}{2} (n_+ - n_-),$$

$$I_{\pm}(0) = I_0, \quad E(0) = E_0 = 1/\text{Re}_E, \quad n_{\pm}(\infty) = 1.$$

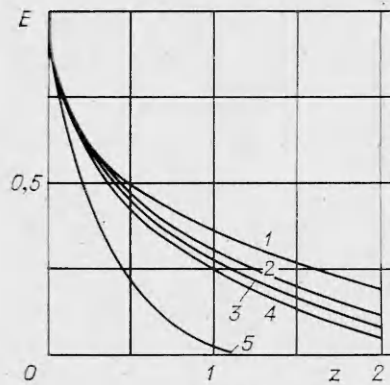
В предельном случае ( $\text{Pe} \rightarrow \infty$ ) членами, пропорциональными  $1/\text{Pe}^2$ , можно пренебречь. Тогда, используя интеграл

$$I_+ - I_- = n_+(1 + \chi E) - n_-(1 - E) = 0,$$

из уравнений (2.2) получим краевую задачу для определения безразмерных значений плотности электрического заряда  $q = n_+ - n_-$  и напря-



Р и с. 1



Р и с. 2

женности поля  $E$  как функций координаты  $z$ :

$$(2.3) \quad \frac{dq}{dz} = \frac{[2 + (\chi - 1)E]q^2 - (1 + \chi)^2 E}{2(1 - E)(1 + \chi E)E}, \quad \frac{dE}{dz} = \frac{1}{2}q, \quad E(0) = E_0, \\ q(0) = (1 + \chi)E_0 I_0 / [(E_0 - 1)(1 + \chi E_0)].$$

После решения задачи (2.3) концентрации положительных и отрицательных ионов находятся по формулам

$$(2.4) \quad n_+ = \frac{-(1 - E)q}{(1 + \chi)E}, \quad n_- = \frac{-(1 + \chi E)q}{(1 + \chi)E},$$

вытекающим из определения  $q = n_+ - n_-$  и интеграла  $I_+ - I_- = 0$ .

Из выражений (2.4) следует, что решение задачи (2.3) имеет физический смысл только при  $E_0 \leq 1$  (в противном случае значение  $n_+$  станет отрицательным).

Из (2.3) можно получить уравнение, определяющее зависимость  $q(E)$ :

$$(2.5) \quad \frac{dq}{dE} = \frac{[2 + (\chi - 1)E]q^2 - (1 + \chi)^2 E^2}{(1 - E)(1 + \chi E)qE}.$$

Характерная картина интегральных кривых уравнения (2.5) изображена на рис. 1 (стрелки показывают направление роста координаты  $z$ ). Интегральные кривые, соответствующие начальному значению  $I_0 = 0$ , начинаются на интервале  $(0, 1)$  (линия 1) оси  $E$ . Они отделяются от интегральных кривых вида 3 с начальным значением  $I_0 \neq 0$  сепаратрисой 2, выходящей из особой точки  $P$  (типа «седло») с координатами  $E = E(0) = 1$ ,  $q = q(0) = -\sqrt{1 + \chi}$  (на сепаратрисе  $I_0 = 0$ ). Все интегральные кривые оканчиваются в нулевой точке  $E = 0$ ,  $q = 0$ , соответствующей пределу  $z \rightarrow \infty$ . Видно, что с ростом  $z$  напряженность поля  $E$  всегда убывает.

Если подвижности положительных и отрицательных ионов равны по абсолютной величине ( $|b_-| = b_+$ ,  $\chi = 1$ ), то уравнение (2.5) интегрируется аналитически. В этом случае решение задачи (2.3) имеет вид

$$q = \frac{-2E}{1 - E} \left[ 1 + (I_0^2 - 1) \frac{E^2}{E_0^2} + 2E^2 \ln \frac{E}{E_0} \right]^{\frac{1}{2}}, \\ z = \int_{E_0}^E \frac{E^2 - 1}{E} \left[ 1 + (I_0^2 - 1) \frac{E^2}{E_0^2} + 2E^2 \ln \frac{E}{E_0} \right]^{-\frac{1}{2}} dE.$$

Если  $\chi \neq 1$ , то задача (2.3) должна решаться численно. Результаты такого расчета в виде зависимостей  $E(z)$ , выполненные для  $\chi = 0,1; 0,71;$

1; 1,4; 10 (линии 1—5), представлены на рис. 2. Предполагается, что  $E_0 = 1$ ,  $I_0 = 1$ . Видно, что большим значениям параметра  $\chi$  соответствует более быстрое убывание величины  $E$  с ростом  $z$ . Для атмосферного сухого воздуха при нормальных условиях можно считать  $b_+ = 1,37 \times 10^{-4} \text{ м}^2/(\text{с} \cdot \text{В})$ ,  $b_- = -1,9 \cdot 10^{-4} \text{ м}^2/(\text{с} \cdot \text{В})$ ,  $\chi = 1,37/1,9 \approx 0,71$  [3]. Если  $E_0 < 0$ , то, совершив преобразование (1.2), при сделанных предположениях для безразмерных величин  $E^{(1)} = -E/(b_+u)$  и  $q^{(1)} = (n_- - n_+)/n_0$  получим задачу (2.3) со значением  $\chi = 1,9/1,37 \approx 1,4$ .

3. Предположим, что в рассматриваемом потоке газа в направлении, противоположном направлению потока, под действием силы тяжести падает с постоянной скоростью  $v > 0$  первоначально не заряженная сферическая проводящая частица (капля) радиуса  $a$ . Зависимость заряда частицы  $e_p$  от координаты  $z$  описывается уравнением

$$(3.1) \quad -v \frac{de_p}{dz} = J_+ + J_-, \quad e_p(\infty) = 0,$$

где  $J_{\pm}$  — электрические токи ионов, текущие на частицу.

Электрическое поле и концентрация ионов в потоке определяются из решения задачи (2.3). Согласно результатам п. 2, всюду в потоке выполнено условие  $E|b_-|/u < 1$ . Таким образом, скорость газового потока, обтекающего частицу  $u + v$ , всегда больше величины  $|b_-|E$ . В этом случае для токов положительных и отрицательных ионов на частицу  $J_{\pm}$  в пренебрежении зарядкой частицы за счет диффузии ионов имеют место выражения [6, 7]

$$(3.2) \quad J_+ = \begin{cases} \frac{\pi e b_+ n_+}{3a^2 E} (e_p - 3a^2 E)^2, & |e_p| \leq 3a^2 E, \\ -4\pi e b_+ n_+ e_p, & e_p < -3a^2 E, \\ 0, & e_p > 3a^2 E, \end{cases}$$

$$J_- = \begin{cases} -4\pi e |b_-| n_- e_p, & e_p \geq 0, \\ 0, & e_p < 0. \end{cases}$$

Различие в выражениях для  $J_{\pm}$  вызвано следующим обстоятельством. Хотя оба типа ионов натекают на частицу снизу, осаждаются они на разных участках ее поверхности. Например, при  $3a^2 E > e_p \geq 0$  положительные ионы осаждаются на частице только снизу, а отрицательные огибают частицу и осаждаются на ней преимущественно сверху [3, 6, 7], так как для них в нижней критической точке  $b_-(E\mathbf{v}) > 0$ , где  $\mathbf{v}$  — внешняя нормаль к поверхности частицы. При  $e_p < 0$  положительные ионы частично осаждаются на каплю сверху, а отрицательные огибают ее и сносятся воздушным потоком без осаждения [3, 6, 7]. Формулы (3.2) выводятся как для стокова ( $Re \ll 1$ ), так и для безотрывного потенциального ( $Re \gg 1$ ) обтекания сферической частицы [3, 6, 7] и обычно используются при изучении электризации аэрозольных частиц в широком диапазоне  $Re$  [1—3, 6].

Из выражений (3.2) видно, что первоначально не заряженная частица в рассматриваемом потоке может приобрести только положительный заряд, удовлетворяющий условию  $0 < e_p \leq 3a^2 E$ .

Далее используются безразмерные величины:

$$(3.3) \quad e_p^{**} = \frac{|b_-| e_p}{3a^2 E}, \quad v^{**} = \frac{v}{u}.$$

Ниже звездочки для упрощения опускаются.

Уравнение (3.1) в безразмерных переменных (2.1), (3.3) с учетом выражений (3.2) для токов и неравенства  $0 < e_p \leq 3a^2 E$  имеет вид

$$(3.4) \quad v \frac{de_p}{dz} = -\frac{4}{8} \chi n_+ E \left(1 - \frac{e_p}{E}\right)^2 + \frac{1}{2} n_- e_p, \quad e_p(\infty) = 0,$$

где  $n_{\pm}$  и  $E$  — заданные функции координаты  $z$ , определяемые по форму-

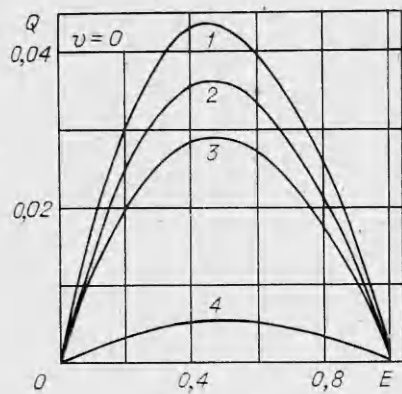


Рис. 3

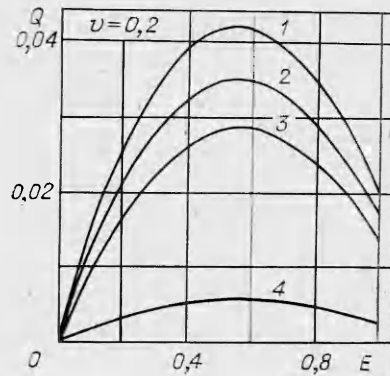


Рис. 4

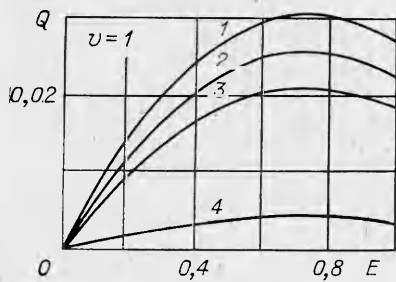


Рис. 5

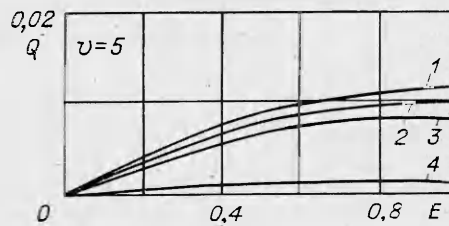


Рис. 6

лам (2.4) на основании решения задачи (2.3) с фиксированными начальными значениями  $I_0$  и  $E_0$ . Из интеграла  $I_+ - I_- = 0$  вытекает соотношение

$$n_+ = \frac{1 + \chi E}{1 - E} n_-.$$

Используя его, из (3.4) и второго равенства (2.3) можно получить

$$(3.5) \quad \frac{de_p}{dE} = \frac{1}{4(1+\chi)v} \left[ \chi(1-E) \left( 1 - \frac{e_p}{E} \right)^2 - 4(1+\chi E) \frac{e_p}{E} \right], \quad e_p|_{E=0} = 0.$$

Решение уравнения (3.5) определяет универсальную зависимость  $e_p(E, v, \chi)$  — одну и ту же для всех решений задачи (2.3) с различными начальными значениями  $I_0$  и  $E_0$ .

Результаты численного интегрирования уравнения (3.5) для различных значений констант  $\chi$ ,  $v$  представлены на рис. 3–6, точка  $E = 0$ ,  $e_p = 0$  соответствует пределу  $z \rightarrow \infty$ , линии 1–4 —  $\chi = 1,4; 1; 0,71; 0,1$ .

Функция  $e_p(E)$  немонотонна, имеет максимум, отвечающий максимальному заряду на частице при ее движении. Для фиксированного значения параметра  $\chi = b_+/|b_-|$  величина максимального заряда убывает с ростом безразмерной скорости  $v$  (частица «не успевает» достаточно зарядиться) и максимальна при равновесной зарядке,  $v \rightarrow 0$  (рис. 3). При фиксированном параметре  $v$  величина безразмерного заряда  $e_p$  для данного значения  $E$  убывает с ростом отношения  $b_+/|b_-| = \chi$ . Все предыдущие рассуждения проведены в предположении  $1 \geq E_0 > 0$ . Если  $-1 \leq E_0 < 0$ , то частица будет заряжаться отрицательно. В этом случае, выписывая соответствующие выражения для токов  $J_{\pm}$  в (3.1) и совершая затем преобразование переменных (2.1), можно прийти к уравнению (3.5) со значением константы  $\chi = |b_-|/b_+$ , которое будет определять зависимость безразмерного заряда  $e_p^{(1)} = -b_+e_p/(3a^2u)$  от безразмерной напряженности электрического поля  $E^{(1)} = -b_+E/u$ . Например, на рис. 3–6 кривые, соответствующие константе  $\chi = 1,4$ , определяют как зависимость  $e_p^{**}(E^{**})$

при  $E_0 > 0$ ,  $b_+/|b_-|$ , так и зависимость  $e_r^{(1)}(E^{(1)})$  при  $E_0 < 0$ ,  $b_+/|b_-| = 1/1,4 = 0,714$ .

Возьмем в качестве примера аэрозольную частицу радиуса  $a = 1,5 \times 10^{-4}$  м, которая падает в восходящем потоке воздуха ( $b_- = -1,9 \cdot 10^{-4}$  м<sup>2</sup>/В·с),  $\chi = 0,71$ ,  $u = 1,2$  м/с). Максимальный заряд частицы при ее медленном падении ( $v \ll u$ ) равен  $2 \cdot 10^{-15}$  Кл. Высота  $L_m$ , на которой частица приобретает максимальный заряд, зависит также от величин  $E_0$ ,  $n_0$ ,  $I_0$ ,  $e$ . В частности, при  $E_0 \approx 6 \cdot 10^3$  В/м,  $n_0 \approx 5 \cdot 10^8$  м<sup>-3</sup>,  $I_0 = n_0 u = 6 \cdot 10^8$  м<sup>-2</sup>с<sup>-1</sup>,  $e = 1,6 \cdot 10^{-19}$  Кл получим  $L_m \approx 2 \cdot 10^2$  м, а при  $n_0 \approx 5 \cdot 10^{12}$  м<sup>-3</sup>,  $I_0 = 6 \cdot 10^{12}$  м<sup>-2</sup>с<sup>-1</sup> и прежних значениях  $E_0$ ,  $e$  имеем  $L_m \approx 2 \cdot 10^{-2}$  м. При дальнейшем падении частица теряет заряд из-за захвата ионов противоположного знака.

В рассмотренных выше одномерных течениях параметры  $\alpha$ ,  $\beta$ ,  $b_+$ ,  $D_{\pm}$ ,  $u$ ,  $v$  считались постоянными. Применительно к атмосферным явлениям это оправдано при  $L_E \leq 10^2$  м. При существенно больших значениях  $L_E = \kappa R_e$ , вообще говоря, необходимо учитывать зависимость указанных параметров от высоты и наряду с этим неоднородность воздушных течений.

#### ЛИТЕРАТУРА

1. Френкель Я. И. Теория явлений атмосферного электричества. — М.: ГИТТЛ, 1949.
2. Чалмерс Дж. Атмосферное электричество. — Л.: Гидрометеиздат, 1974.
3. Красногорская Н. В. Электричество нижних слоев атмосферы и методы его измерения. — Л.: Гидрометеиздат, 1972.
4. Ватажин А. Б., Грабовский В. И., Лихтер В. А., Шульгин В. И. Электрогазодинамические течения. — М.: Наука, 1983.
5. Pismannik K. D., Brezhneva N. E. et al. Radioisotopic neutralisation of electrostatic charges in industry. — In: Peaceful uses of atomic energy 4th International conference. Proceedings. New York — Vienna, 1972, v. 14.
6. Whipple E. J., Chalmers J. A. On Wilson's theory of the collection of charge by falling drops. — Quart. J. Roy. Meteor. Soc., 1944, v. 70, N 304.
7. Васильева Н. Л., Черный Л. Т. Электрогидродинамика двухфазных сред при электризации частиц дисперсной фазы под влиянием электрического поля. — ПММ, 1982, т. 46, вып. 1.

Поступила 20/V 1985 г.

УДК 533.6.09 + 535.231.6

### ИССЛЕДОВАНИЕ ВЫСОКОСКОРОСТНЫХ ВОЗДУШНЫХ СТРУЙ ВЗРЫВНОГО ПЛАЗМЕННОГО ГЕНЕРАТОРА

Ю. Н. Киселев, В. Б. Рождественский, Г. С. Романов,  
К. Л. Самонин, В. В. Урбан

(Москва, Минск)

Среди различных устройств, преобразующих энергию взрыва в энергию плотной плазменной струи, определенными преимуществами обладает взрывной плазменный генератор (ВПГ) [1]. С помощью высокоэнергетических струй этого устройства созданы источники мощного излучения сплошного спектра [2—4], исследовались сильные ударные волны в газах [5], проводилась термообработка металлических поверхностей [6]. Сложность физических процессов, протекающих при работе ВПГ, требует для их изучения привлечения экспериментальных и теоретических методов. В настоящей работе представлены результаты экспериментальных и теоретических исследований ВПГ с камерой сжатия в виде сферического сегмента радиусом 5 см и диаметром основания 9,6 см, заполненного 0,2 г воздуха при 0,1 МПа. Ударник в виде плоской пластины из алюминия толщиной 2 мм ускорялся зарядом ВВ плотностью 1,71 г/см<sup>3</sup>, энергией 3,34 МДж.

Схема эксперимента аналогична применявшейся ранее (см. [7], рис. 1). Плазменная струя от ВПГ, прорвав лавсановую диафрагму, выходит в вакуумированные до 0,1 Па трубку диаметром 1 см, длиной 4 см и стеклянный цилиндрический баллон диаметром 9 см, длиной 15,6 см и тормозится на его дне. Разлет и торможение плазменной струи регистрирова-